

## ЗАДАЧА О ПОРШНЕ В ДЕТОНИРУЮЩЕМ ГАЗЕ

Н. С. Захаров, В. П. Коробейников

(Москва)

В работах [1—5] рассмотрены некоторые задачи о течениях газовых смесей с экзотермическими реакциями за ударными волнами. В частности, рассматривается задача о точечном взрыве в горючей смеси газов с учетом кинетики химических реакций. Ниже используются движения идеального, нетеплопроводного, совершенного газа в случае задачи о симметричном поршне, движущимся в горючей смеси. Для течения газа принимается модель, которая учитывает время задержки воспламенения и последующее одновременное протекание прямой и обратной реакций [3].

1. Пусть в покоящуюся в начальный момент времени газовую среду стал вдвигаться поршень по закону  $r_p = \lambda_p t^\delta$ , где  $\lambda_p, \delta = \text{const}$ . Перед поршнем образуется ударная волна [6], которая возбуждает химические реакции, идущие с выделением тепла.

Рассмотрим некоторые особенности решения для модели, в которой химическая реакция за фронтом ударной волны включается после окончания периода индукции. Реакция, определяющая период индукции  $t_{\text{ind}}$ , описывается уравнением [3]

$$(1.1) \quad dc/dt = -1/t_{\text{ind}} = -k_1 p^{n_1} \rho^{l_1} \exp(-E_1 \rho/p),$$

где  $c$  — фиктивная концентрация;  $E_1$  — энергия активации индукционного периода;  $p$  — давление;  $\rho$  — плотность;  $k_1, n_1, l_1$  — некоторые постоянные. При  $n_1 > 0, l_1 > 0$  из формулы (1.1) следует, что при больших  $p$  время индукции мало. С затуханием ударной волны и убыванием  $p$  величина  $t_{\text{ind}}$  растет, а следовательно, будет расти и расстояние между фронтом ударной волны и зоной реакции горения, т. е. с некоторого момента времени ударную волну и зону химических реакций нельзя принимать за одну поверхность разрыва — детонационную волну. Проведенный вывод о возможности расщепления детонационной волны в явлении точечного взрыва в детонирующем газе был сделан в работе [1]. Экспериментальным подтверждением описанной выше картины течения служили опытные данные по инициированию горючих смесей газов с помощью луча лазера [7].

Уравнение, описывающее протекание химической реакции, берется в виде

$$(1.2) \quad \frac{d\beta}{dt} = -k_2 \beta^{m_1} p^{n_2} \rho^{l_2} \exp\left(-\frac{E_2 \rho}{p}\right) + k_3 (1-\beta)^{m_2} p^{n_3} \rho^{l_3} \exp\left(-\frac{E_3 \rho}{p}\right),$$

где  $\beta$  — массовая доля несгоревшего газа;  $E_2$  — энергия активации прямой реакции ( $E_2 \geq 0$ );  $E_3$  — энергия активации обратной реакции;  $k, m, n, l$  — некоторые постоянные.

Реакция (1.1) идет без выделения тепла. Величина  $c = 1$  на фронте ударной волны.

Обращение  $c$  в нуль означает окончание периода индукции и начало реакции (1.2), идущей с выделением тепла. До начала реакции (1.2) концентрация  $\beta = 1$ .

Движение газа будет описываться уравнениями (1.1), (1.2) совместно с уравнениями сохранения массы, количества движения и энергии, кото-

рые можно взять в виде

$$(1.3) \quad \frac{\partial \rho}{\partial t} + \frac{\partial \rho u}{\partial r} + j \frac{\rho u}{r} = 0, \quad \frac{\partial u}{\partial t} + u \frac{\partial u}{\partial r} + \frac{1}{\rho} \frac{\partial p}{\partial r} = 0,$$

$$\frac{\partial h}{\partial t} + u \frac{\partial h}{\partial r} - \frac{1}{\rho} \left( \frac{\partial p}{\partial t} + u \frac{\partial p}{\partial r} \right) = 0, \quad h = \frac{\gamma}{\gamma - 1} \frac{p}{\rho} + \beta Q,$$

где  $u$  — скорость среды;  $\gamma$  — показатель адиабаты;  $Q$  — теплотворная способность единицы массы горючей смеси;  $j = 0, 1, 2$  для плоского, цилиндрического и сферического случаев. Если величины  $E_i$ ,  $Q$  постоянны, задача может быть автомодельной в случае переменной начальной плотности газа  $\rho_1 = Ar^{-\omega}$  ( $\omega < 3$ ,  $A = \text{const}$ ) при условии, что начальным давлением  $p_1$  можно пренебречь по сравнению с давлением за ударной волной. Класс автомодельных решений системы (1.1)—(1.3) изучен в работе [2]. Будем считать, что  $\omega = 0$ . В данной постановке задача не является автомодельной, поэтому полное исследование можно провести лишь методами численного интегрирования уравнений в частных производных.

2. Рассмотрим движение газа в моменты времени, близкие к начальному. В начальный период движения величина полной энергии, выделившейся при горении в объеме, ограниченном ударной волной, меньше работы поршня

$$(2.1) \quad W > U = \sigma_j \int_{r_p}^{r_2} Q(1 - \beta) \rho r^j dr,$$

где  $\sigma_j = 2\pi j + (j - 1)(j - 2)$ ;  $r_2$  — радиус ударной волны. Поэтому влияние химических реакций на течение мало. Работа поршня

$$W = \sigma_j \int_0^t p u r^j dr.$$

Для начальной стадии, когда справедливо неравенство (2.1), можно искать решение, используя метод линеаризации по малому параметру  $\varepsilon = U/W < 1$ :

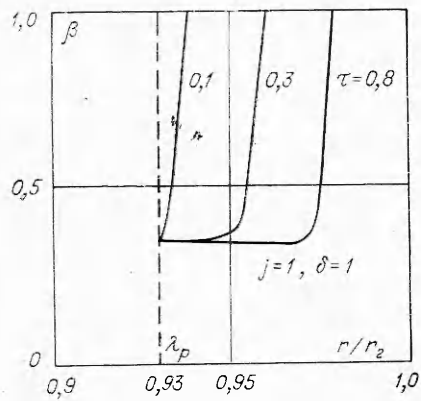
$$(2.2) \quad p = p_0 + \varepsilon p_{01} + o(\varepsilon), \quad \rho = \rho_0 + \varepsilon \rho_{01} + o(\varepsilon),$$

$$u = u_0 + \varepsilon u_{01} + o(\varepsilon), \quad \beta = \beta_0 + \varepsilon \beta_{01} + o(\varepsilon),$$

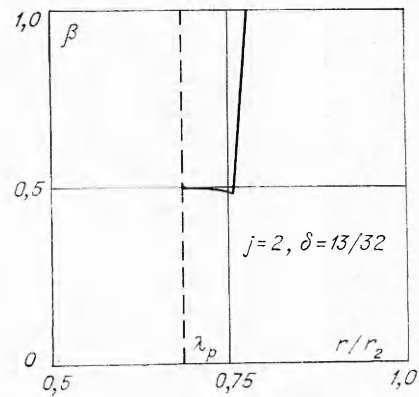
$$c = c_0 + \varepsilon c_{01} + o(\varepsilon), \quad \lim_{\varepsilon \rightarrow 0} \frac{o(\varepsilon)}{\varepsilon} \rightarrow 0.$$

После подстановки функций (2.2) в исходные уравнения получим для  $u_0, p_0, \rho_0, c_0, \beta_0$  и  $u_{01}, p_{01}, \rho_{01}, c_{01}, \beta_{01}$  системы дифференциальных уравнений в частных производных. Система для главных членов разложения распадается на две. Решением газодинамических уравнений будут автомодельные функции, описывающие течение от поршня. Последняя задача хорошо изучена [6, 8]. Химические реакции при этом протекают на заданном поле течения и описываются уравнениями (1.1), (1.2), в которых каждой функции следует приписывать нижний индекс нуль.

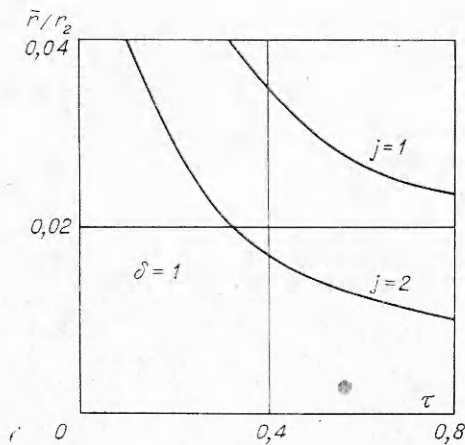
Граничные условия для  $u_0, p_0, \rho_0$  совпадают с условиями газодинамической задачи [6, 8],  $c_0 = 1$  на фронте ударной волны,  $\beta_0 = 1$  на фронте воспламенения. Граничные условия для функций с индексом 01 вытекают из разложения (2.2), условий на поршне, фронте пламени и фронте ударной волны. Они могут быть получены стандартными приемами [6, 9].



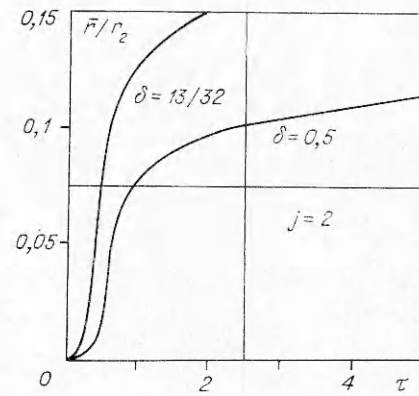
Ф и г. 1



Ф и г. 2



Ф и г. 3



Ф и г. 4

3. Проведены расчеты \* для значений параметров  $l_1 = 1, l_2 = l_3 = 0, n_1 = 0, n_2 = n_3 = 2, k_3 = k_2, t_* k_1 \rho_1 = 15, E_1/Q = 1,74, E_2/Q = 0,347, E_3/Q = 1,347, i_* = 10^{-7} \text{ с}, t_* k_2 \rho_1^2 Q^2 = 4,16, Q = 4 \cdot 10^{10} \text{ эрг/г}, \rho_1 = 0,5 \cdot 10^{-3} \text{ г/см}^3, \gamma = 4/3.$

Эти постоянные выбраны так, чтобы уравнения кинетики соответствовали временам индукции и результирующей реакции для стехиометрической смеси водорода с кислородом. Расчеты проводились для ударных волн, движущихся с постоянной скоростью —  $\delta = 1$ , и для затухающих ударных волн —  $\delta < 1$ .

На фиг. 1, 2 дано распределение концентрации  $\beta$  по пространству. Вычисления показали, что для концентрации велика роль обратной реакции. На фиг. 3, 4 представлено расстояние  $\bar{r}$  между фронтом ударной волны  $r_2$  и фронтом воспламенения  $r_B$ . Из приведенных расчетов следует, что при  $\delta = 1$  с ростом времени  $\tau = t/t_*$  время задержки воспламенения не увеличивается, реакция протекает фактически непосредственно за фрон-

\* Эти расчеты были проведены Н. С. Захаровым в его дипломной работе, выполненной в Московском физико-техническом институте в 1973 г.

том ударной волны и не происходит расщепления детонационной волны на обычный скачок уплотнения и фронт пламени. При  $\delta < 1$  уже в моменты времени, близкие к начальному, зона воспламенения отделяется от ударного фронта, время индукции возрастает, что приводит к распаду детонационной волны на простой скачок уплотнения и фронт пламени. Расчеты показали также сильную зависимость фронта воспламенения от энергии активации  $E_1$ .

Заметим, что случай движения поршня при  $\delta < 1$  может моделировать влияние продуктов взрыва инициирующего заряда на развитие детонации. Специально рассчитан вариант  $\delta = \delta_1 = 13/32$  для сравнения с развитием поршня при точечном взрыве,  $\delta = \delta_0 = 2/5$  без поршня ( $\delta_1 - \delta_0 < 0,01$ ). Оказалось, что в окрестности ударной волны течения близки друг к другу (для сравнения со случаем взрыва см. работы [3, 4, 10]).

О точности расчета газодинамических функций можно судить по следующим данным. В интегральном законе сохранения массы при вычислениях сохранялось семь значащих цифр. Далее, при  $Q = 0$  система (1.3) допускает интеграл адиабатичности [6], который выполнялся при расчетах с точностью до тысячных долей процента. Во всех расчетах отношение энергии, выделившейся при сгорании, к работе поршня не превышало 10%,  $\varepsilon \leq 0,1$ .

Таким образом, движение химически активного газа, вытесняемого поршнем, движущимся по закону  $r_p = \lambda_p t^\delta$ , можно разбить на две стадии. Начальная, когда количество энергии, выделившейся при горении, мало по сравнению с работой поршня. На этой стадии течение описывается формулами, дающими решение задачи о поршне. На фоне этого течения происходят химические реакции. Вторая стадия отличается тем, что в ней необходим учет энергии, выделившейся при химической реакции. Решения, полученные в начальной стадии, могут служить начальными данными для расчета более поздних стадий с использованием конечно-разностных методов. Рассмотренная выше методика может быть применена также к задачам о возбуждении неравновесных состояний в газе и расчете населенностей энергетических уровней молекул и атомов за ударными волнами (или в течениях расширения). Уравнения (1.1), (1.2) здесь заменятся на уравнения кинетики неравновесных процессов.

Поступила 18 VII 1978

#### ЛИТЕРАТУРА

1. Коробейников В. П. Задача о точечном взрыве в детонирующем газе. — «Astronautica Acta», 1969, vol. 14, N 5, p. 411—419.
2. Бишимов Е., Коробейников В. П., Левин В. А., Черный Г. Г. Одномерные нестационарные течения горючей смеси газов с учетом конечной скорости химических реакций. — «Изв. АН СССР. МЖГ», 1968, № 6, с. 7—19.
3. Течение газа с экзотермическими реакциями за ударными волнами. Отчет Ин-та механики МГУ, 1969, № 1000.
4. Течения газа с экзотермическими реакциями за ударными волнами. Отчет Ин-та механики МГУ, 1970, № 1103.
5. Коробейников В. П., Левин В. А., Марков В. В. Взрыв в горючей смеси газов. — «Науч. труды Ин-та механики МГУ», 1971, № 11.
6. Седов Л. И. Методы подобия и размерности в механике. М., Гостехиздат, 1967.
7. Lee J. H., Knystautas R. Laser spark ignition of chemically reactive gases. — «AIAA J.», 1969, vol. 7, N 2, p. 312.
8. Григорян С. С. Задача Коши и задача о поршне для одномерных неустановившихся движений газа (автомодельные движения). — ПММ, 1958, т. 22, вып. 2.
9. Овсянников Л. В. Лекции по газовой динамике. Новосибирск, 1971.
10. Левин В. А., Марков В. В. Исследование возникновения детонации при концентрированном подводе энергии. — ФГВ, 1975, № 5.